哀牢山金矿地质及物化探异常特征

吴上龙

(云南地矿局物化探队)

本文着重论述哀牢山金矿带的地质地球化学特征,地球物理特征 以及用物探方法找金的前提。归纳出地质、物化探找矿的综合标志。 对金矿成因进行了探讨。

关键词: 企矿床; 地球化学特征; 地球物理特征; 综合找矿标志

哀牢山是杨子准地台西南边界上的一条 巨型推覆构造体和变质带,它由中深变质的 元古界哀牢山群和浅变质的古生界,从东向 西推覆叠置组成。断裂构造及糜棱岩带十分 发育、沿断裂呈"构造侵人"的超基性岩呈 借分布。各种中酸性、碱性岩浆岩及其派生 的暗色脉岩(煌斑岩)也有一定分布,特别 是在金矿田及其附近,多呈岩枝及岩脉产出, 亦有部分岩株。

成矿地质特征概述

已知金矿主要赋存于古生界中,成带展 布,常沿超基性岩接触带及其附近的断裂破 碎带或层间破碎带产出。赋矿岩石既可是破 碎的变质砂岩、板岩、千枚岩,也可以是破 碎的超基性岩、玄武岩及煌斑岩。呈碎裂结 构、碎斑结构、碎粉结构等,总之以相当显 著的破碎为矿化岩石的特征。近矿围岩普遍 具有显著的硅化、碳酸盐化、黄铁矿化、铬 水云母化、滑石化及褐铁矿化等围岩蚀变现 象。强烈的破碎与蚀变是此类型金矿的重要 特征标志之一。

矿体呈脉状成群出现, 矿化极不均匀。 矿体规模大小悬殊、长数至数百米、 厚1~ 2m至30~40m。金以粒状、片状、树枝状的 自然金为主,少量是存在于黄铁矿和毒砂矿 物中的伴生金。其他金属矿物有白钨矿、黄 铁矿、毒砂、辉锑矿、方铅矿、闪锌矿、黄 铜矿、磁铁矿、钛铁矿、褐铁矿等。按金与 伴生金属矿物组合特征,可分为金一白钨矿 矿石、金一黄铁矿矿石和金一辉锑矿矿石三 类。金矿体及近矿围岩中普遍有一定数量的 金属硫化物及氧化物伴生,是哀牢山金矿的 又一地质标志。同时也是物探工作的地质前 提。

目前,对哀牢山金矿的成因主要有两种 认识:一种是与火山作用及火山热液活动有 关的层控观点,主要依据是镇沅县和平丫口 至新平县双沟街一带, 金矿及金矿化沿一园 定层位发育,该层(Pz3-5)由变质砂岩、 砂板岩、炭质板岩、蚀变玄武岩及细碧角斑 岩(?)组成。但是在长达300多km的哀牢 山金矿带上,金矿并不都产于Pz3-5地层中, 甚至不限于变质古生界,与火山岩也不存在 必然的依附专属性。另一种即本文的观点认 为, 哀牢山金矿是与中酸性一碱性岩浆热液 活动有关的破碎蚀变岩型,主要依据是地球 化学研究成果。此外,有些学者还从金矿总与 超基性岩存在一定的空间联系,推论金来自 超基性岩的变质热液,但缺乏直接证据。不 同的成因观点都有一定的浓据,只是据客观 地质事实的不同侧面作出不同的解释, 抽象 出不同的成矿地质模型。但都肯定成矿与热 液作用有关,各种构造破碎带是热液活动与 成矿的空间,强烈的破碎与显著的热液蚀变 现象是寻找此类型金矿的重要地质标志。

地球化学特征

1. 地球化学丰度及其特征

为了解哀牢山地区各地层和各类岩石中 微量元素的原始丰度及变化,并探索矿源层 等问题,选择未见矿化蚀变的地段作三条岩 石地球化学剖面测量,横越整个变质带;按地

裏牢山地区岩石地球化学参数 表 1

元	克拉克值		农车山区		域背景	
岽	地壳	超基性岩	超基性岩	深变质岩	浅变质岩	
Au	4.3	5.0	1.64	0.69	1.04	
Hg	30.0	0.01	0.08	0.04	0.04	
Ag	0.07	0.05	0.02	0.04	0.04	
As	1.8	0.5	1	0.8	7.2	
Cu	55	20	2.2	11.6	31.8	
Pb	13	0.1	0.3	11	94	
Zn	70	30	84	52	109	
Sb	1.2	0.1	1.9	0.2	2.2	
W	1.3	0.1	0.3	0.5	0.4	
Bi	0.9	0.001	0.2	0.5	0.5	
Cr	100	2000	880	18	54	
Ni	75	2000	5644	3	22	
Co	25	200	99	6	10	
v	135	40	18	32	60	
Ti	4400	306	87	2335	3032	

在, Au单位为ppb, 其余为ppm, 样品 138个。 层及岩性单元系统采集岩石样品,测试结果如表 1。可见哀牢山地区无论深、浅变质岩还是超基性岩,Au的区域丰度均在 1ppb 左右,远低于克拉克值。变质岩系不同岩性的岩石中Au含量变化不大,其范围是0.3~5.2 ppb, 分布均匀,Au与其他元素无明显相关关系。表明岩石中Au的区域背景丰度极低,且呈独立随机均匀分布,从而进一步说明Au在区域岩石中并不与某一特定岩层或某一地质作用相联系,即不存在矿源层(体)。

矿田范围岩石的Au丰度较区域背景明显增高。Au及相关元素浓集系数达10或以上。Au平均丰度约10ppb,煌斑岩高达39ppb,含量变化范围2~98ppb,呈不均匀分布;Au及相关元素在矿化破碎带中则有更为显著的浓集,平均浓度大多在650~1000

ppb, 且**离散度**更高, 离差往往是平均 浓度的 $2 \sim 3$ 倍, 呈极不均匀分布。

哀牢山金矿带Au的原生地球化学 丰度模式可归纳为:区域背景1ppb±,呈独立随机均匀分布——)矿田丰度,10ppb±,不均匀分布——)矿化带浓度, $n \times 100ppb$,极不均匀分布。

土壤及水系沉积物的Au含量基本 相同, 其几何平均值分别是1.02和1.62ppb、 高 差 分别是0.99和1.24ppb, 异常下限分别 是 3 和4.1ppb。可见在哀牢山 区的表生 地 球 化 学条件下, Au既未贫 化也无显 著 的富集, Au及含Au岩石的风化、搬运和混合主要是 物理的机械过程。

2. 元素的共生组合与指示元素选择

哀牢山金矿带各主要矿田,岩石、土壤和水系沉积物等介质中,Au都与As、Ag、Sb、Hg、W、Cu等元素显著相关,与Cr、Ni、Co、V、Ti等元素不相关,各自形成族

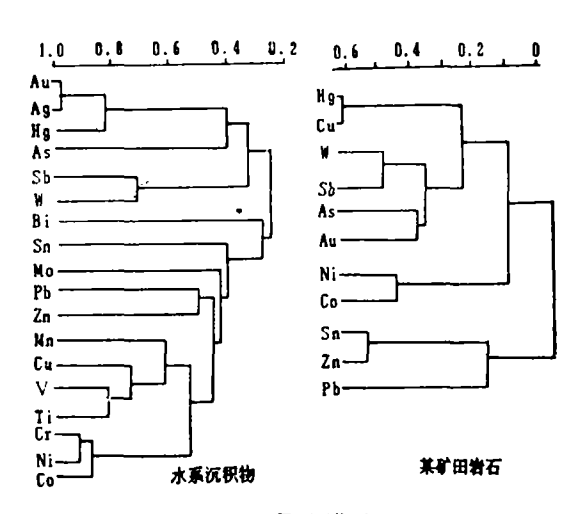


图 1 R型聚类谱系图

群(图 1)。与Pb、Zn、Sn、Mo、Bi等元素的关系也不密切,但原生和次生异常中却与其有一定的相关性,常成为异常组合中的一员。

不同矿田或矿床的元素组合 又 略 有 差 异,大致有Au、As、W组合, Au、As、 Ag组合与Au、As、Sb组合三种类型。它们 分别与前述三种矿石类型相对应,标志矿体 的不同剥蚀深度,由浅而深的标志 元素 是 Sb→Ag→W。因此, 哀牢山破碎蚀变岩型 金矿的主要指示元素有Au、As、Ag、Sb、 W、Hg、Cu等。

从元素共生组合关系还可发 现, Au 不 与超基性一基性岩常见元素Cr、Ni、Co、V Ti等相关,相反却与中酸性一碱性岩常见元 素W、Bi、Mo有一定联系。故认为该矿床 是与中酸性一碱性岩浆热液活动有关的破碎 蚀岩型金矿。

3. 指示元素的迁移扩散特征

化探研究表明,热液作用下指示元素的 迁移扩散与含量分布服从指数规律,其数学 表达式为

$$C_x = C_{\max} e^{-\frac{x}{K}}$$

式中: C_{max} 一邻 近 矿 脉 的 最 高 含 量; K—— 迁移扩散系数,反映元素迁移扩散能 力的大小;x——至矿脉的距 寓; C_x ——x处的元素含量。

据哀牢山部分金矿床原生晕剖面实测资 料,按回归分析方法计算出各指示元素的迁 移扩散系数, $K_{A1} = -8.2 \sim -26.5$, 平均 -13.8; $K_{As} = -7.8 \sim -40$, 平均-18.1; $K_{\text{Sb}} = -11 \sim -61.9$, 平均 -30; $K_{\text{W}} =$ $-9.3 \sim -23.2$, 平均 -17.6; $K_{Cu} =$ $-86.6 \sim -125.1$,平均-105.9; $K_{Hg} =$ -102.1~-273, 平均-173.9。可见, Au、 As、W迁移扩散能力最弱,扩散距离在20m 以内,为内带元素,Sb、Cu迁移扩散能力和距 高均属中等,约30~100m间,属中带; Hg的 迁移扩散能力最强,扩散距离在100m以上, 属外带元素。按扩散能力由小到大和分布的 从内到外是Au→W→As→Sb→Cu→Hg。

4. 地球化学异常特征

(1) 原生异常:无论在平面还是剖面 上,主要指示元素异常都呈狭窄的长条状围 绕矿化破碎带展布,由内到外和由下到上的 元素分 带 是 W、Pb→Au、As→Sb→Cu→ Hg.

W和Pb异常最狭窄,仅10~30m,多零 星分布在矿化带内部或旁侧,深部发育好些, 属尾晕和内带元素。W异常浓度一般64~ 125ppm, 极大值>2000ppm; Pb异 常浓度 一般20~60ppm, 极大值500ppm。Au、As、 Sb异常规模较大,常完整地包围整个矿化破 碎带,浓集中心显著,与矿体吻合较好,属异 常中带元素。Au、As异常宽20~50m,浓度分 别是250~n×1000ppb及ppm;Sb异常规模略 大,宽20~80m,浓度一般为32~200ppm,极 大值>100ppm。Cu异常零星分布于矿化带旁 侧,尤其是底板一侧,宽20~80m,属异常外 带,浓度一般为60~500ppm。Hg异常宽度最 大,约在100m左右或更宽, 属前缘晕和异常 外带元素, 异常浓度一般为250~1000ppb, 极大值9000ppb。

(2) 次生异常:1:20万区域化探发现, 沿哀牢山变质带南北两段分别为Au 含 量 在 1.6~4ppb的高背景带,其间(元江一红河) 为小于1.6ppb的低背景区将二者分开。在此 高背景带上断续出现Au及相关元素 的 区 域 异常,这是矿带的地化标志之一。

已知金矿田均有一个区域异 常 与 之 伴 随,异常的显著特点之一是指示元素分带齐 全,一般由Au、As、Ag、Sb、Hg、W、 Mo、Bi (Sn) 组成 (图 2), 分带清晰, 相 互套合良好。Bi、(Sn) 异常构成内带; W、 Mo异常既可出现在中带也可出现于内带,图 2 异常即属于中带,而在另一些区域异常中 又多与Bi、(Sn) 异常相似; Au、As异常范 围中等,属中带; Ag、Sb、Hg扩散范围 最 大,构成异常外带。浓度分带也较显著,按 $\log C = \log C_0 + k \log S, \text{ if } k = 2, 3, 4 \cdots n \text{ ff}$ 为分带标准、所有指示元素皆可出现2~3 个浓度带,部分异常和部分指示元素甚至可 出现 4~5个浓度带。第二个特点是异常浓 度、离散性和规模都较大。Au异常 平 均 浓 度都大于30ppb,极大值都在100ppb以上,

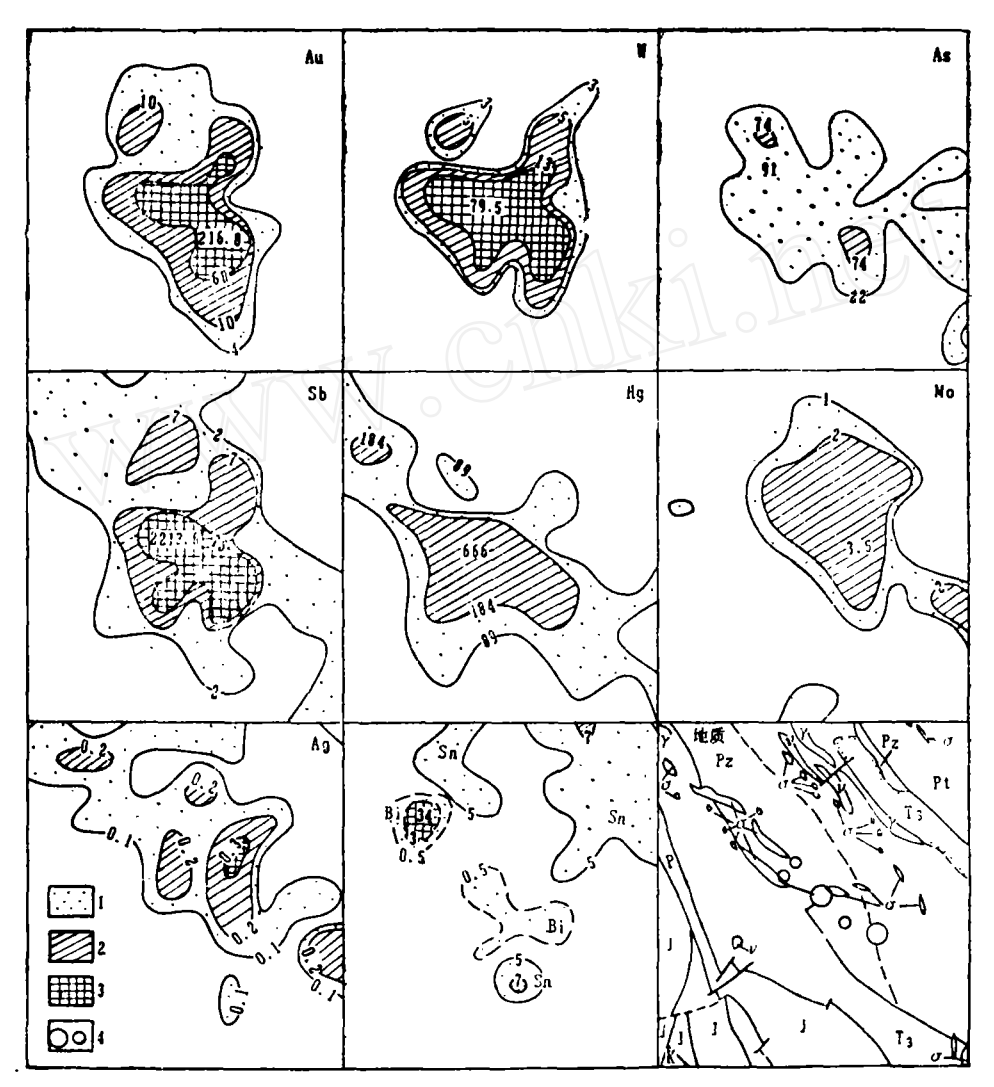


图 2 哀牢山某矿田水系沉积物地球化学异常平面图

K—白垩系,J—侏罗系,T,—中三叠统,Pz—古生界变质岩,Pt—哀牢山群, σ —超基性岩, ν —基性岩, γ —混合花岗岩,1—低浓度带,2—中浓度带,3—高浓度带(Au、Hg为ppb,其余为ppm),4—矿床和矿点

变化系数(标准离差/均值)均大于 1, 异常规模大于3000ppb·km²。而目前仅发现矿化及偶见矿体的区化异常,Au异常 平均 浓度多在10ppb左右,极大值多小于60ppb, 变化变数也小于 1, 对其中前缘元素异常发育者也值得重视。

地球物理特征与模型标志

1. 地球物理方法找矿前提

哀牢山金矿石中伴生有一定数量的金属

硫化矿物和氧化矿物,显示出物探(电法)找金的地质前提与良好前景。为研究物探方法的有效性,首先系统地对各主要矿区及矿体的各类岩(矿)石物性进行测定,电性特征如表 2 所示。由表可见:原生金矿体为低阻、高视金属因子、高极化体,氧化 金 矿 体 是高阻、低视金属因子、高极化体,二者都有别于除炭质板岩以外的其它围岩。原生金矿平均视极化率(7.)达4.97%,为其它 围岩的2.6~7.4倍,平均视电阻率(ρ .) 101Ω m,

岩 (矿) 石	标	视极化率 11; (%)		视电阻率 ρ ₅ (Ωm)		视金属因子
名 称	本数	平均值	变化范西	平均值	变化范围	(η, /ρ,)
原生金矿	65	4.97	1.6~8.1	101	51~250	0.0402
氧化金矿	22	3.8	2.2~4.8	3504	1842~7685	0.00108
炭质板岩	13	9.4	7.4~12.6	21	11~51	0.44762
蚀变砂岩	39	1.9	0.3~6.4	3303	1798~6136	0.00057
变质(粉)砂岩	23	0.67	0.1~2.8	424	103~965	0.00158
硅质岩	6			386	202~552	
板 岩	22	- 57		3393	364~11625	
超基性岩	15	1	0.3~2	189	122~343	0.00529
花岗斑岩	12	1	0.7~1.5	1162	670~2007	0.00086

仅为其它围岩的 $1/2\sim 1/33$ 。 氧化金矿 $\eta_s =$ 3.8%,为其它围岩的 $2\sim5.7$ 倍, $\rho_*=3504$ Ωm, 为其它围岩的1.2~32.1倍。 各 类 岩 (矿) 石视金属因子 ($J_s = \eta_s/\rho_s$) 排列 顺 序是炭质板岩>原生金矿>超基性岩>氧化 金矿>其它围岩。炭质板岩也是低阻高视金 属因子高极化体,与原生金矿比较其 η_s 、 J_s 异常幅值更高, P. 值更低。当它与金矿体共 生时则强化异常, 当它独立存在时则形成干 扰异常,其强度还高于矿异常,此时可借助地 质、化探标志加以区分。总之,就物性特征 和排除干扰异常的可能而言,矿体与围岩之 间存在显著的差异,具备地球物理电法勘探 的前提。

金矿及其围岩大多为无磁性或微磁性, 唯基性、超基性岩属强磁性岩石。由于金矿 与其主要近矿围岩并无磁性差异, 因而不具 备运用磁法寻找金矿的前提。但哀牢山破碎 蚀变岩型金矿总与超基性岩带及其所标志的 断裂带有空间上的联系, 矿体多出现在岩体 接触带或附近, 因此磁法勘探亦可作为圈定 基性、超基性岩体和研究断裂带的手段,间 接为探寻金矿服务。

2. 矿体异常特征

原生金矿体在不同装置和不同极距的激 电剖面上均能产生高 η ,、高J,、低 ρ , 异常, 仅由于反映深度不同, 异常幅值和异常宽度 有所变化(图3)。η, 异常幅值变化范围是 3.1~4.3%, 相对于围岩区高1.9~9.5倍; ρ 。异常极小值变化范围是50~150 Ω m, 仅 为围岩区的 $1/3\sim1/8$; J_* 异常幅值在不同矿 体上变化较大。由90×10⁻⁴直至600×10⁻⁴ 不等,但都较围岩区高6~15倍。 η_* 、 ρ_* 、 J.异常宽度视矿体规模、不同的观测极距而 变化,由20~100m不等,同一极距的剖面 上 η_s 、 ρ_s 、 J_s 三者的异常宽度相近。总之, 原生金矿激电异常无论异常幅值或是异常规 模均十分显著, 预测效果较好。

在具备产生自然电场的水文 地 质 条 件 下, 从物性可知原生金 矿 体 能形成自 电异 常,当矿体与炭质板岩共生时,则能形成很 强的异常 (如图 3), 其 ΔV 异常 极 小 值 达 -150mV, 而围岩则产生幅值不大的正自电 值, ΔV10~50mV, 相差10倍左右。另一些 矿床及矿体的自电异常幅值不如上例显著, 但仍可观测到-20~-50mV、与围 岩区 幅 值相差5~6倍的自电负异常。还有一些矿床 及矿体由于不利的水文地质条件,而没有自 电异常出现,因此自然电场法找金效果还受 到水文地质条件的制约, 只能作为辅助方 法。

氧化金矿产生高7.、高P.、低1.异常。 7公异常无论幅值或其与围岩区幅值的差异, 均与原生金矿相似, P. 异常极大值变化范围 是372~516Ωm,相对于围岩区高出2.3~ 3.4倍; J.为负 异 常, 极 小 值变化范围为

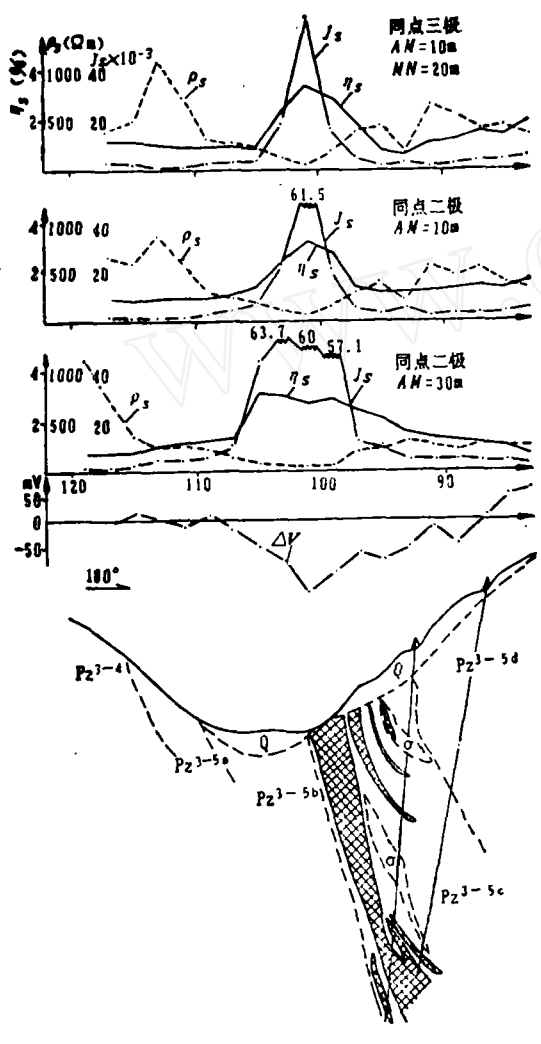


图 3 哀牢山某金矿区电法综合

Q一、坡积残积物, Pz3-5d - 绢云、硅质 板岩夹含炭质泥晶灰岩和硅质岩条带; P23-6c 一绢云、千枚扳岩夹石英杂砂岩; Pz3-5b 一含炭质硅质岩或炭质板岩硅质 绢云板岩, Pz3-5a - 绿泥绢云板岩偶夹 灰岩小透镜体或条带,Pz3~1-薄层变质 石英砂岩, σ一超基性岩体

35×10⁻³~50×10⁻³, 约为围岩区幅值的 1/2。 当矿体氧化十分强烈硫化矿物已 不 复 存在时,仅表现为高 ρ 。、低J. 异常,而无 7. 异常出現。

隐伏矿体当覆盖层厚度(h) <矿体宽 度(d) 时,仍有 η 。异常出现, 仅异常幅值 有所降低; 当h>d时, η , 异常消失 或 极 微 弱, ρ . 曲线受覆盖层的影响更大,隐伏矿体 上方一般都不出现户, 异常 (图 4);因 此 激 电方法对隐伏矿体的探测是有条件的。

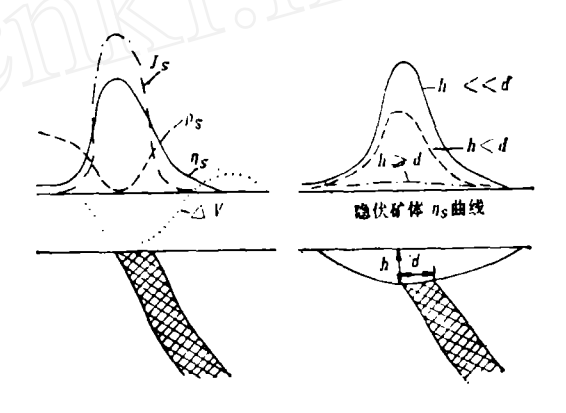


图 4 金矿体的激电异常模型

7, 异常曲线形态对矿体产状特 征 反 应 灵敏,在矿体倾向一侧曲线下降较另一侧缓 慢,倾角越小,这种差异越显著。另外当观 测极距AM=5、10、30米逐步增大时、 η 。 异常幅值逐步降低,同时异常亦明显向矿体 倾向一侧扩展。利用7.异常曲线形态及其随 极距AM增大的变化特征,可以大致 判断矿 体的产状。

金矿的地质、物化 探综合标志

哀牢山金矿主要的地质、地球化学、地 球物理综合标志可归纳为

- 1. 强烈的破碎带,显著的围岩蚀变, 一定数量的金属硫化矿物和氧化矿物分布, 破碎蚀变岩石Au丰度 达 100ppb 左 右 或 以 上。
- 2. 以Au为主的(Au平均:岩石10ppb左 右, 土壤>100ppb, 水系沉积物>40ppb) Au、As、Sb、W、Cu、Hg、Bi、Mo组合

异常,或Au浓度稍低(水系沉积物>10ppb, 土壤>50ppb),而前缘元素Sb、Hg较高的 异常。 3. 高 η ,、高J,、低 ρ ,或高 η ,、低J,、高 ρ ,激电异常,自电 ΔV 负异常。

Geological Features and Geophysical-Geochemical Anomaly Characteristics of the Ailaoshan Gold Ore Belt

Wu Shanglong

This paper emphatically expounds geological features and geophysical-geochemical anomaly characteristics of the Ailaoshan gold ore belt and the premise of gold exploration with geophysical prospecting methods. An integrated guide for geological-geophysical-geochemical exploration has been summed up. Finally a discussion of gold metallogenesis is given.

胶东地区金矿床(点)地表 原生量某些特征

分析总结胶东地区盛家沟、盘马、旧店、望儿山、玲珑108号和52号脉、三山岛、金青顶、焦家、玲南、破头青等已知金矿床(点)地表原生晕及断裂构造地球化学特征,结合矿床的矿化类型、延深、规模、地质条件等具体情况,得出了该区金矿床的某些地球化学标志:

- 1. Hg、As、Sb是前缘晕指示元素或 预 示矿矿体剥蚀较浅。浅剥蚀或未受剥蚀的中型以上金矿床均有明显的Hg异常。Bi、Mn、(Mo) 是 尾晕指示元素或预示矿体剥蚀较深。具有同等剥蚀程度的金矿床,地表原生异常规模与矿床规模呈近似正相关。
- 2. 出露矿或浅埋藏矿地表原生晕 有 两 种 情况: ①Au、Ag、As、Sb、Hg、Cu、Pb、Zn、Bi等均有异常显示,②Au、Ag(As) 异 常 发 育,其他元素异常较弱。以上如Hg异常极发育,或Sb 比Bi异常明显好,预示金矿体延深较大,有Be异常出现则预示找矿前景更好,如Bi、Mn、Mo比其 他元素(Au、Ag除外)异常发育预示矿体剥 蚀 较深。此外,Cu比Zn异常明显好时,往往预示矿 石 品位较好。
 - 3. 盲矿体地表原生晕也有两种情况: ①Cu、

Pb、Zn、As、Sb、Hg,特别是后三者异常发育,Au、Ag异常较弱(Au比Ag弱),②Au、Ag 异常较发育(Ag好于Au),As、Sb、Hg异常明显 好于Bi、Mn、Mo异常,Pb比Zn异常发育。已确定为矿致异常者如Hg、Sb或其中之一异常特别发育,且Cu比Zn异常明显,或有Be异常时,预示找矿的景很好。

以上2、3两项是针对花岗岩分布区。老地层分布区产出的金矿脉Mn、Mo、Co、Ni异常 普 遍 发育,且有Ni/CO>1。判别矿体剥蚀程度不能 只看Mn、Mo两元素。

4. 胶东地区含金断裂构造地球化学特征为,出露矿均显示以Au为主的多种 微量 元素组合 异常, 剥蚀程度不同,异常强度也不一样,规模大者,且有Hg、Be异常出现,预示大型特大型 矿床存在;含金断裂多有Au·Ag·As/Ti·Mn>1/百万, Au·Ag·As/Sr·Ba>1/10万;(含量单位相同);含盲矿地段As、Sb、Hg异常发育,伴有Pb、Ag、Au异常,Bi异常不发育;含矿断裂的不含矿地段与不含矿断裂的地球化学特征无明显差异,都不出现上述地球化学特征。

上述规律是根据现有化探资料总结的,难免有局限性,在应用时需结合具体地质情况,综合多方面的信息,避免片面性。

[冶金部物探公司物化探研究所 李富国]